

## V-7 コンクリートの一軸圧縮試験におけるAE現象について

道都短大建設科 正員 ○井明  
 北大工学部 渡邊慶輝  
 北大工学部 中島巖

## 1. 緒言

現在、各種材料の破壊過程や破壊機構に関する研究において、AE手法が使用されるようになってきている。AE (Acoustic Emission) とは、材料の微小破壊にともなう弾性波の放出現象に対し用いられる用語である。

本研究は、コンクリートの一軸圧縮試験におけるAEを調べ、この結果からコンクリートの破壊現象について考察したものである。実験としては、コンクリートの材質を変えて、応力、ひずみ、AEカウントrate、およびAE振幅分布などを計測した。この結果、コンクリートの破壊過程で発生するAEは、内部の破壊現象に対応しマイクロクラックの累積と連結の結果、終局破壊にいたることが明らかになった。

## 2. 実験手法

## 2-1. 供試体

実験に使用した供試体 ( $150 \times 30 \text{ cm}$ ) の配合と材令は、右表の通りである。粗骨材の最大寸法は  $20 \text{ mm}$  である。

供試体は、練上げ後1日で脱型し、水中養生 ( $20^\circ\text{C} \pm 2^\circ$ ) の後、試験日前日に水槽より出し室内に放置した。

## 2-2 圧縮試験

実験では、供試体端面をイオウキマッピングし、加圧板

との間にテフロンシートを介して、試験機からの機械的雑音と端面接触による雑音を除去するために、テフロンシートを介した。

ひずみ測定は、軸ひずみ  $\epsilon_z$  と内周ひずみ  $\epsilon_\theta$  を測定し、体積ひずみ  $\epsilon_v$  は、  $\epsilon_v = \epsilon_z - 2\epsilon_\theta$  の関係から求めた。

## 2-3 AEの計測

供試体の側面に貼りつけた、円弧状に加工した金具にセンサーを取り付けてAEを検出した。AE、応力、ひずみの計測システムをFig. 1に示す。このAE計測システムは

Dunegan/Endevco社のユニットヒューリック社製のシグナルプロセッサーを組み合わせたものである。センサーは S140B (共振周波数  $140 \text{ kHz}$ ) を用いた。センサーで検出したAE信号をフリアンプで  $40 \text{ dB}$ 、シグナルコンディショナーで  $40 \text{ dB}$ 、合計  $80 \text{ dB}$  増幅した。シグナルプロセッサーには、AEカウント数と同時にストレインアンプから応力とひずみの信号が入力され、相互の関係を表示した。一方、フリアンプの出力をアンプリチュードディテクターに

入力することによって、AE波の最大振幅を対数パルスに変換し、ディストリビューションアナライザーで最大振幅一イベントの頻度分布（以後、この分布をAEの振幅分布と称する）を分析した。なお、振幅分布の測定にあたっては、各荷重レベルでその都度、載荷を中断することによって求めた。

## 3. 実験結果

## 3-1 コンクリートの材質とAE振幅分布の関係

ペースト、ペースト+砂利、モルタル、コンクリートの各供試体について、荷重レベル毎のAE振幅分布の結果

記号	内 容	配合 C : G : S : W	材 令
SS	モルタル	1 : 0 : 1.8 : 0.6	135 日
SC	セメントペースト	1 : 0 : 0 : 0.4	135 日
SA	ペースト+砂利	1 : 1.8 : 0 : 0.45	135 日
06	コンクリート	1 : 2.9 : 2 : 0.55	8, 14, 21, 28 日

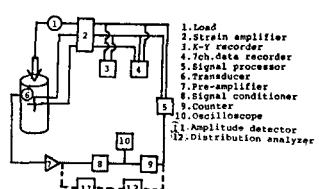


Fig. 1 Block diagram of instrumentation for AE monitoring and stress-strain measurement

果を、それぞれ Fig 2 - Fig 5 に示す。これらの図は、AE の累積イベント数  $N$  と AE 最大振幅  $a$  の関係を両対数座標にプロットしたものである。これらの結果から  $N$  と  $a$  とは、ほぼ直線関係にある。すなわち、地震学の分野において地震の規模と発生度数の間に成立する統計関係<sup>1)</sup> (Gutenberg - Richter の式) および、コンクリートの

破壊に対して成立するといみなされる。

いま、Gutenberg - Richter の式において、分布の勾配を表わす係数  $b$  値を求めてみると、ペースト 0.82, ペーストヒ砕石 1.13, モルタル 1.64, コンクリート 1.13 となる。

Fig. 2(ペースト)では、初期荷重から破壊まで、分布に表われた変化は少ない。Fig. 3(砂利とペースト)の振幅分布は、各荷重レベルでの乱れが多く、50t から 60t までの最終段階で振幅の大きさの AE が急に増加している。Fig. 4(モルタル)では、35t から 50t の間に

AE イベントが急に増加している。Fig. 5(コンクリート)では、最終段階で振幅の大きい AE が目立っている。以上の結果を、破壊応力比と  $b$  値の関係についてまとめて、Fig. 6 の様になる。同図より、 $b$  値はモルタル、コンクリート、ペーストの順に値が小さくなっている。破壊応力比の初期の段階では、ペースト以外、 $b$  値は大きい。応力比が 50% をこえると、 $b$  値の変化は少なくなり、最終段階では更に低下する。Fig. 6 の結果から、初期荷重の段階で発生する AE は振幅の小さいものが多く、内部では極めて小さい破壊が数多く生じたものとみられる。後半では、 $b$  値の変化は少ないが Fig. 3 にみられるように、直線から外れた振幅の大きい AE が認められるが、これは比較的大きな破壊がこの時生じたことを示している。

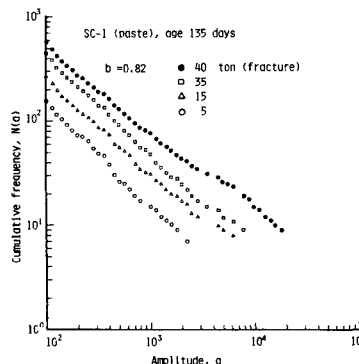


Fig. 2 Cumulative frequency vs. amplitude at four load levels in the compression of paste

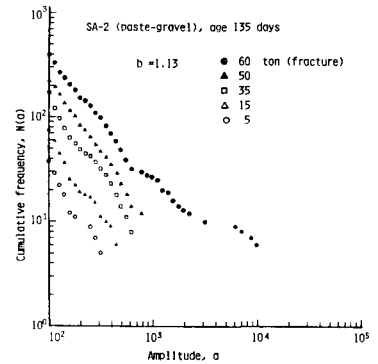


Fig. 3 Cumulative frequency vs. amplitude at five load levels in the compression of paste-gravel specimen

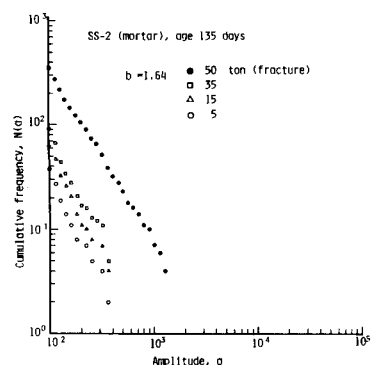


Fig. 4 Cumulative frequency vs. amplitude at four load levels in the compression of mortar

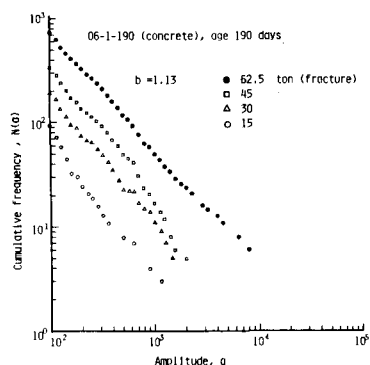


Fig. 5 Cumulative frequency vs. amplitude at four load levels in the compression of concrete

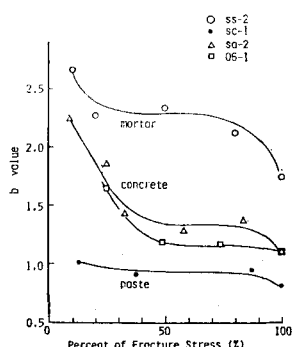


Fig. 6 b vs. normalized stress in uniaxial compression

### 3-2 体積ひずみとAEカウントrateの関係

材令8日、14日、21日、28日のコンクリート供試体4本ずつについて行なった圧縮試験の結果から、平均圧縮強度は、それぞれ147, 189, 226, 255  $\text{kg}/\text{cm}^2$  であった。これらの供試体から得られた結果をFig.7-Fig.10に示す。これらの図は、応力と体積ひずみ、ポアソン比、および応力  $5 \text{kg}/\text{cm}^2$  每のAEカウント数<sup>\*1</sup>との関係を示したものである。図中、ポアソン比が連続的な増加を示す。(開始応力点) および、<sup>\*2</sup>体積ひずみが減少から増加に反転する点(臨界応力点)を●印で示した。

Fig.7(材令8日)では、初期応力でAEは急激に増加したのち、破壊応力の約30%まで減少する。開始応力と臨界応力とはほぼ一致しており、破壊応力の約50%である。このことは、ポアソン比が増加しはじめる同時に材料内部の分離が始まることを示している。AEはこの付近から増加しはじめ、破壊応力の約70%から急激に増加している。Fig.8(材令14日)では、AEは初期応力で急増する。この場合も約30%まで減少傾向を示す。

開始応力は応力比約63%で、この付近からAEは徐々に増加し始める。臨界応力は応力比約93%で、AEは急に増加する。Fig.9(材令21日)の場合については、初期応力でのAEは急激ではないが活発である。開始応力は応力比約61%で、このときAEは増加傾向を示している。臨界応力は応力比約92%でAEは急激に増加している。Fig.10(材令28日)の場合には、初期応力並態でもAEの増加は急激でないが、荷重の全域にわたってAEは平均して活発である。開始応力は応力比約66%、臨界応力は応力比約77%である。AEは後半に著しい増加を示す。以上の結果から、各応力レベルでのAEカウントrateの変化は各材令について、同一傾向を示している。

#### 4. コンクリートの破壊に関する考察

コンクリートの一軸圧縮試験におけるAE現象としては、載荷の初期段階で活発であること、体積ひずみが減少から増加に転ずる付近の後期の段階で急激に増加することが明らかになった。特に、終局段階のAE現象に

\*1 本文では、以後これをAEカウントrateと称す

\*2 本文では、縮小側への体積ひずみの変化を、減少と称し、膨張側への変化を、増加と表現する。

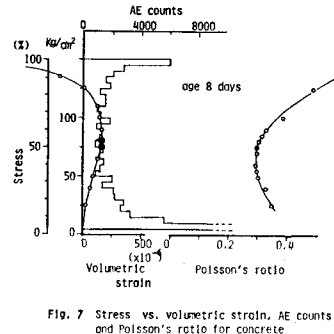


Fig. 7 Stress vs. volumetric strain, AE counts and Poisson's ratio for concrete

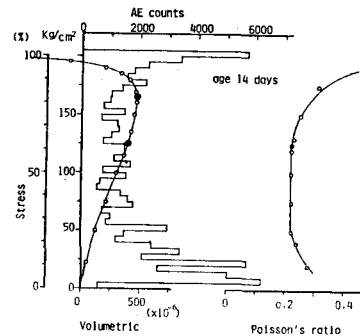


Fig. 8 Stress vs. volumetric strain, AE counts and Poisson's ratio for concrete

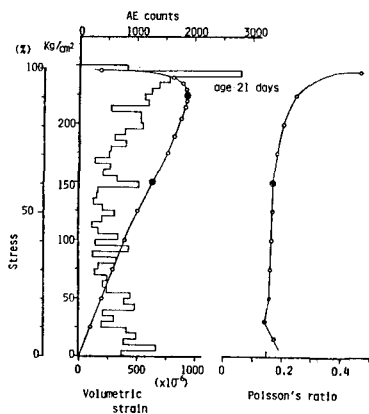


Fig. 9 Stress vs. volumetric strain, AE counts and Poisson's ratio for concrete

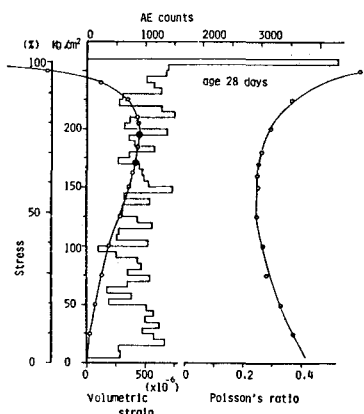


Fig. 10 Stress vs. volumetric strain, AE counts and Poisson's ratio for concrete

関しては、体積ひずみの増加に対応して、幅幅の大きいAEの発生がみとめられる。このことは、Hsu<sup>2)</sup>やShah<sup>3)</sup>等が、コンクリートの破壊現象について指摘していることよく符合する。すなわち、臨界応力状態に達した後の応力状態では、コンクリート内部の粒子境界上にボンドクラックが急激に増加し、これらが連結されて、モルタル内を通過するクラックが生じるという実験とよく対応している。これに対して、載荷の初期で発生するAEに関しては、AEカウント数が多い割には体積ひずみの増加は少ない。荷重レベル毎のAEの振幅分布の変化から、初期荷重で発生するAEには、振幅の小さいものが多く、小さな破壊が多数あたるものと推定される。

以上述べたとく、初期のAE活動で体積ひずみが減少しているのに対して、後期の活動では、体積ひずみが反転して増加した事実に対しては、現在、合理的な説明は困難である。いま、この問題に対して、1つの解釈をみえて試みるならば、次の様に考えられる。すなわち、初期の段階においてはクラックの方向性は無いが、後期の段階ではクラックの方向性が現われるという推測である。具体的に言えば、初期の段階においては、コンクリート内部の不均一な構造により、それらの欠陥においては、容易に、ランダムな方向に微小破壊が生じるものと考えられる。一軸圧縮応力下にあっては、横方向の微小クラックの開口成分は拘束されるために体積膨張の増分とはならぬ。一方、臨界応力状態になると、最大主応力方向のクラック、換言すれば縦割れが生じるものと推察される。このようなクラックの方向性は実際に観察される事象であり、Bieniawski<sup>4)</sup>などによりこれまで理論的な考察などされている。いま、縦割れが生じると、それらの開口量は、全面的に体積ひずみの増加量となる現われ結果的には体積の膨張が生じる。このように考えると、コンクリートの一軸圧縮試験において現われるAE活動と体積ひずみの変化との関係については一層の説明がつく。

## 5. 結論

以上述べた、コンクリートの一軸圧縮試験におけるひずみとAEの計測結果から以下の事が明らかとなった。

- 1) 載荷の初期と後期で著しく特徴あるAE活動が現われた。
- 2) 載荷の初期では、振幅の小さい微小破壊が優先し、後期では、振幅の大きい破壊が目立った。
- 3) 載荷の初期過程では、AE活動が活発であるに拘らず、体積ひずみは減少した。
- 4) 載荷の後期過程では、AE活動が活発になると、それに伴って、体積ひずみは増加した。
- 5) これらの現象は、クラックの方向性を考慮することによって説明される。

## 参考文献

1. 宇津徳治「地震学」共立全書
2. Hsu T., Slate F., et al., "Microcracking of Plain Concrete and the Shape of the Stress-Strain Curve," ACI Journal Proceedings V.60, No.2, Feb. 1963.
3. Shah S.P., and Chandra S., "Critical Stress, Volume Change, and Microcracking of Concrete," ACI Journal Proceedings Sept. 1968 pp. 770-781
4. Bieniawski Z.T., "Mechanism of Brittle Fracture of Rock," Int.J.Rock Mech.Min. Sci. V.4 1967